



УДК 577.113.4

## СИНТЕЗ ОЛИГОНУКЛЕОТИДНЫХ ПРОИЗВОДНЫХ, СОДЕРЖАЩИХ 1-(4-(3-(ТРИФТОРМЕТИЛ)-3Н-ДИАЗИРИН-3-ИЛ)БЕНЗАМИДО)-2,3- ПРОПАНДИОЛ, ДЛЯ ФОТОАФФИННОЙ МОДИФИКАЦИИ БЕЛКОВ И НУКЛЕИНОВЫХ КИСЛОТ

© 2002 г. Ю. Ю. Агапкина\*\*, Д. В. Агапкин\*\*, А. В. Загородников\*\*,  
Я. И. Алексеев\*\*\*, Г. А. Коршунова\*\*, М. Б. Готтих\*\*

\* Институт проблем химической физики РАН,  
142432, Черноголовка, Институтский пр., 14;

\*\* Химический факультет и Научно-исследовательский институт физико-химической биологии  
им. А.Н. Белозерского МГУ им. М.В. Ломоносова, Москва;

\*\*\* ЗАО "Синтол", Москва

Поступила в редакцию 27.07.2001 г. Принята к печати 22.11.2001 г.

Получено амидофосфитное производное 1-(4-(3-(трифторметил)-3Н-диазирин-3-ил)бензамидо)-3-O-(4,4'-диметокситритил)-2,3-пропандиола, которое использовано в качестве модифицированного звена в автоматическом синтезе олигодезоксирибонуклеотидов. На примере пентадекатимида показано, что наличие в цепи одного остатка пропандиола, содержащего арил(трифторметил)диазирин (ATFMD), снижает термостабильность образуемого им с олигодезоксирибоаденилатом дуплекса на 8–9°C. При облучении УФ-светом с длиной волны 350 нм дуплексов, в которых одна из цепей содержит модифицированный ATFMD пропандиол, наблюдается реакция этой фотоактивной группировки с второй цепью дуплекса, приводящая к образованию "сшитых" дуплексов. Эффективность фотомодификации ДНК не зависит от нуклеотидной последовательности цепей дуплекса и составляет приблизительно 5% на одну ATFMD-группу. Облучение ATFMD-содержащего дуплекса, являющегося субстратом интегразы вируса иммунодефицита человека, в присутствии этого фермента приводит к образованию ковалентного ДНК-белкового комплекса. Олигонуклеотиды, содержащие 1-(4-(3-(трифторметил)-3Н-диазирин-3-ил)бензамидо)-2,3-пропандиол в цепи, могут применяться для фотоаффинной модификации как нуклеиновых кислот, так и узнающих их белков.

**Ключевые слова:** олигонуклеотиды; фотоаффинная модификация; арил(трифторметил)диазирин; интеграза.

### ВВЕДЕНИЕ

Фотоаффинная модификация – один из наиболее активно используемых подходов к изучению структуры и функций нуклеиновых кислот, белков и их комплексов. Под действием облучения введенные в состав НК или белка фотоактивные группы превращаются в высокореакционноспособные частицы (радикал, карбен, нитрен), которые атакуют соседние группы атомов с образованием ковалентной связи [1]. Идентификация продукта фотопроявления позволяет судить о структурной и динамической организации системы.

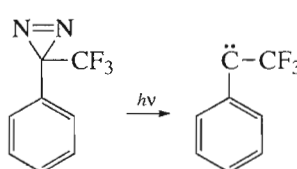
В качестве фотоактивируемых производных обычно используют тио- и галогенсодержащие аналоги гетероциклических оснований [1], а так-

же арилазидные производные НК [2]. Следует отметить, что все перечисленные фотоактивные группы при облучении способны взаимодействовать только с нуклеофильными и ароматическими соединениями [1, 2]. В последнее время большое внимание уделяется арил(трифторметил)диазириновым (ATFMD) производным НК [3]. Поглощая при длинах волн 355–365 нм, не повреждающих биологические молекулы, диазирин генерирует карбен (схема 1), который способен взаимодействовать с любой близлежащей группировкой, включая группы, содержащие алифатические С–Н-связи [4]. Такая высокая реакционная способность ATFMD-группы является ее важным преимуществом по сравнению с другими фотоактивными группировками и значительно расширяет возможности метода фотоаффинной модификации.

Время жизни карбена находится в наносекундном диапазоне [4], что позволяет помимо структурных проводить также и кинетические исследования. Таким образом, диазирины рассматривают-

Сокращения: ATFMD – арил(трифторметил)диазирин; HEPES – 4-(2-гидроксиэтил)-1-пиперазинэтансульфонат; ВИЧ – вирус иммунодефицита человека.

# Автор для переписки (эл. почта: Jagapkina@rambler.ru; тел.: (095) 939-54-07; факс: (095) 939-31-81).



**Схема 1.** Схема генерации карбена из ATFMD.

ся как многообещающие реагенты для изучения биополимеров. В литературе приводятся многочисленные примеры использования ATFMD-производных НК для фотоаффинной модификации белков [3], однако данные о фотоаффинной модификации самих нуклеиновых кислот этими производными до настоящего времени отсутствовали.

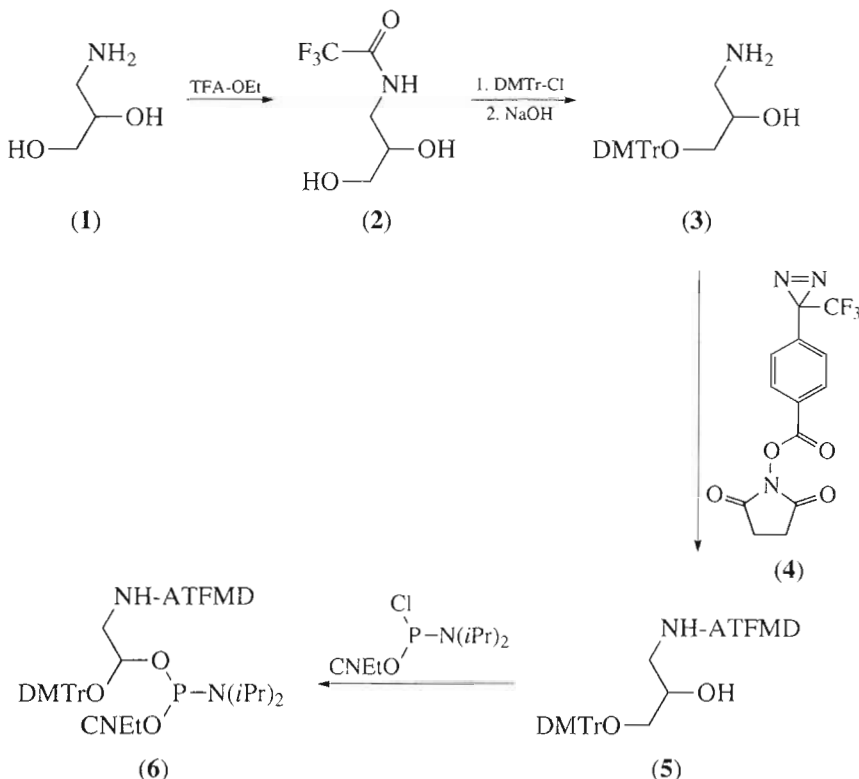
ATFMD-группу можно вводить в олигонуклеотиды по гетероциклическому основанию, углеводному фрагменту, по межнуклеотидным и концевым фосфатным группам [3]. Из литературных данных известно, что синтез нуклеозидов, содержащих ATFMD-группу, – трудоемкий и многостадийный процесс, а выход целевых продуктов, как следствие, низок [5]. Вместе с тем существует способ введения в олигонуклеотиды различных группировок в составе линкера ненуклеозидной

природы [6]. Именно этот подход мы решили использовать для получения производных олигонуклеотидов, содержащих ATFMD-группу.

Цель данной работы – синтез олигонуклеотидных производных, содержащих ATFMD-группу в составе ненуклеозидного линкера, и исследование возможности их применения для фотоаффинной модификации как белков, так и нуклеиновых кислот.

## РЕЗУЛЬТАТЫ И ОБСУЖДЕНИЕ

Как уже отмечалось выше, для получения фотоактивных производных олигонуклеотидов нами был выбран подход, при котором ATFMD-группа (где арил представлен бензоильной группой) вводится в олигонуклеотид в составе вставки ненуклеозидной природы. В качестве ненуклеозидной вставки мы применяли коммерчески доступный реагент – 1-амино-2,3-пропандиол. Необходимо отметить, что введение ATFMD-группы в олигонуклеотиды теоретически возможно как постсинтетически, а именно, посредством обработки сукцинимидным эфиrom 4-(3-(трифторметил)-3H-диазирин-3-ил)бензойной кислоты деблокированной аминогруппы уже введенного в олигонуклеотидную цепь аминодиола, так и непосредственно в процессе автоматического олигонуклеотидно-



**Схема 2.** Схема синтеза 2-(*N,N*-диизопропиламидо)- $\beta$ -цианэтилфосфита 1-(4-(3-(трифторметил)-3H-диазирин-3-ил)бензамидо)-3-*O*-(4,4'-диметокситритиля)-2,3-пропандиола (6).

5' → 3'	
TTTTTTT-X-TTTTTT	(I)
TTT-X-TTTTT-X-TTT	(II)
TTT-X-TTT-X-TTT-X-TTT	(III)
AC-X-GCTAGAGATTTCCACAC	(IV)
 $X = -O-\text{CH}_2\text{CH}_2\text{O}-\text{C}(=\text{O})-\text{NH}-$	
GTATAGCTCCACACG	(V)
GTGTGGAAAATCTCTAGCACT	(VI)
ACTGCTAGAGATTTCCACAC	(VII)

**Схема 3.** Структура синтезированных олигодезоксиконъюгатов (символ d опущен).

го синтеза с использованием синтона, содержащего ATFMD-группу. Нами был выбран второй метод, так как он позволяет получать олигонуклеотиды, содержащие фотоактивную группу, с более высокими выходами. В связи с этим первым этапом работы был синтез амидофосфита, содержащего ATFMD-группу.

2-(N,N-Дизопропиламино)-β-цианэтилфосфит 1-(4-(3-(трифторметил)-3Н-диазирин-3-ил)бензамино)-3-O-(4,4'-диметокситритил)-2,3-пропандиола (**6**) синтезировали в соответствии со схемой 2. Предварительные опыты показали, что ацилирование аминогруппы 1-амино-2,3-пропандиола (**1**) сукцинимидным эфиrom 4-(3-(трифторметил)-3Н-диазирин-3-ил)бензойной кислоты (**4**) проходит с низким выходом. По всей видимости, это обусловлено плохой растворимостью амина (**1**) в органических растворителях. По этой причине мы вводили ATFMD-группу в диметокситритилированное производное 1-амино-2,3-пропандиола (**3**).

Первой стадией синтеза являлась защита аминофункции 1-амино-2,3-пропандиола (**1**) трифтормаслянной группой. Реакцию проводили в диметилформамиде в присутствии триэтиламина; в качестве ацилирующего агента был выбран этиловый эфир трифтормаслянной кислоты, так как он селективно реагирует с аминогруппой.

Первичную гидроксильную группу 1-(2,2,2-трифтормаслянамидо)-2,3-пропандиола (**2**) блокировали диметокситритилхлоридом в абсолютном пиридине (3 ч). Известно, что время диметокситритилирования для подобных аминодиолов колеблется от 4 до 18 ч [7, 6]. Предварительные эксперименты показали, что в нашем случае за 3 ч не образуется побочного продукта диметокситритилирова-

ния по вторичной гидроксильной группе, поэтому это время было выбрано для проведения реакции. Трифтормаслянную защиту удаляли в щелочной среде и очистку целевого продукта (**3**) осуществляли колоночной хроматографией на силикагеле.

Сукцинимидный эфир 4-(3-(трифторметил)-3Н-диазирин-3-ил)бензойной кислоты (**4**) был синтезирован по многостадийной схеме, описанной Нассалем, из n-бромтолуола [8]. Конденсацию предварительно полученных сукцинимидного эфира (**4**) и амина (**3**) проводили в тетрагидрофуране в присутствии триэтиламина. Целевое соединение (**5**) выделяли колоночной хроматографией на силикагеле. Полученное вещество было охарактеризовано масс- и ЯМР-спектрами.

Синтез амидофосфитного производного (**6**) соединения (**5**) проводили в абсолютном хлористом метилене в присутствии триэтиламина. В качестве фосфитилирующего агента использовали 2-цианоэтил-N,N-дизопропиламидохлорфосфит. Соединение (**6**) охарактеризовано  $^{31}\text{P}$ -ЯМР-спектром. Суммарный выход амидофосфита (**6**) в расчете на соединение (**1**) составил 38%.

Синтезированный амидофосфит (**6**) встраивался в олигонуклеотидную цепь в процессе автоматического синтеза. Использовалась стандартная схема синтеза, однако время конденсации на стадии включения модифицированного ненуклеотидного звена было увеличено до 10 мин.

Была синтезирована серия олигонуклеотидов, содержащих ATFMD-группу в составе ненуклеозидной вставки (схема 3).

### Фотоаффинная модификация нуклеиновых кислот

Фотоаффинная модификация НК производными олигонуклеотидов, содержащими фотоактивные группы, может использоваться для ряда исследований в области молекулярной биологии, например для выяснения доступности того или иного района сложно организованной мРНК, для выявления НК-НК-контактов в белково-нуклеиновых комплексах (например, в рибосоме), в качестве инструмента для регуляции генной экспрессии.

В настоящей работе была исследована возможность использования для модификации НК олигонуклеотидов с ATFMD-содержащими ненуклеозидными вставками. Были синтезированы олигонуклеотиды (**I**)–(**III**), представляющие собой последовательность (dT)<sub>15</sub>, с 1, 2 и 3 вставками соответственно.

Вначале мы определили температуру плавления дуплексов, образованных модифицированными олигонуклеотидами и комплементарной матрицей (dA)<sub>15</sub>. Как видно из данных таблицы, введение каждой ненуклеозидной вставки с ATFMD-группой

понижает значение  $T_{\text{пл}}$  дуплекса на 8–9°C по сравнению с немодифицированным ДНК-дуплексом.

Убедившись в устойчивости получаемых дуплексов, мы осуществили фотопрекцию в них путем облучения смеси олигонуклеотид–матрица светом с длиной волны 351 нм при 4°C. Реакционные смеси анализировали в 20% денатурирующем ПААГ (рис. 1a). Ковалентная связь между цепями в дуплексах образовывалась с различной эффективностью в зависимости от числа ATFMD-содержащих вставок. Выходы продуктов фотопрекции составили 4, 10 и 15% в случае олигонуклеотидов (I), (II) и (III) соответственно.

Для подтверждения того, что фотопрекция происходила в составе комплементарного комплекса, мы провели облучение смеси, в которой комплементарная цепь  $(dA)_{15}$  была заменена на 15-звененный олигонуклеотид произвольной последовательности (V). Как видно из рис. 1b, в этом случае образования продукта фотопрекции не наблюдалось.

Далее мы изучали фотомодификацию нуклеиновых кислот в дуплексе, состоящем из олигонуклеотида (IV) и комплементарного ему 21-звенного олигонуклеотида (VI), в тех же условиях. Ковалентный конъюгат образовывался с эффективностью 5% (рис. 1в).

Полученные результаты позволяют рекомендовать олигонуклеотиды, содержащие ATFMD-группу в составе ненуклеозидной вставки, в качестве реагентов для фотоаффинной модификации нуклеиновых кислот. Известно, что для этих целей могут быть использованы олигонуклеотиды, содержащие, например, тио-, арилазидную группы или псорален [9–11]. Каждый из таких реагентов имеет свои достоинства и недостатки. Поэтому выбор фотопрекента зависит от стоящей перед исследователем задачи. Например, арилазидная группа позволяет достичь достаточно высоких выходов фотопрекции (до 65%) [11], но может быть введена в олигонуклеотид только постсинтетически, что делает синтез более трудоемким. Тиогруппа и псорален встраиваются в олигонуклеотид в процессе автоматического синтеза и дают высокие выходы фотопришивки, но при облучении взаимодействуют только с пиримидиновыми гетероциклическими основаниями [9, 10], что ограничивает возможности их использования. Эффективность фотоаффинной модификации НК с помощью предлагаемых нами реагентов ниже, чем у вышеупомянутых, но благодаря высокой реакционной способности ATFMD-группы они могут реагировать с любой нуклеотидной последовательностью и поэтому более перспективны, например в исследованиях по зондированию пространственной структуры РНК.

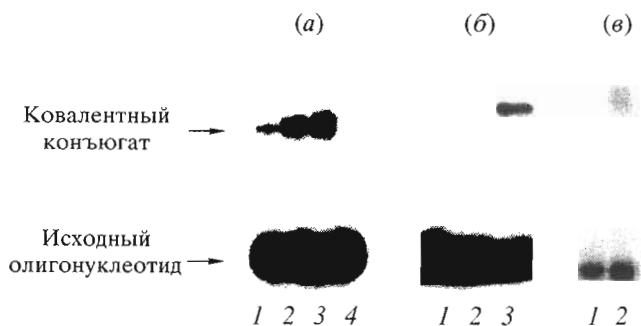
Влияние числа ненуклеозидных вставок с ATFMD-группой в олигодезоксинуклеотидах (I)–(III) на термическую устойчивость их дуплексов с  $dA_{15}$ -матрицей

Олигонуклеотид в составе дуплекса	Количество вставок	$T_{\text{пл}}, ^{\circ}\text{C} \pm 0.5^{\circ}\text{C}$
$dT_{15}$	0	40
(I)	1	32
(II)	2	24
(III)	3	15

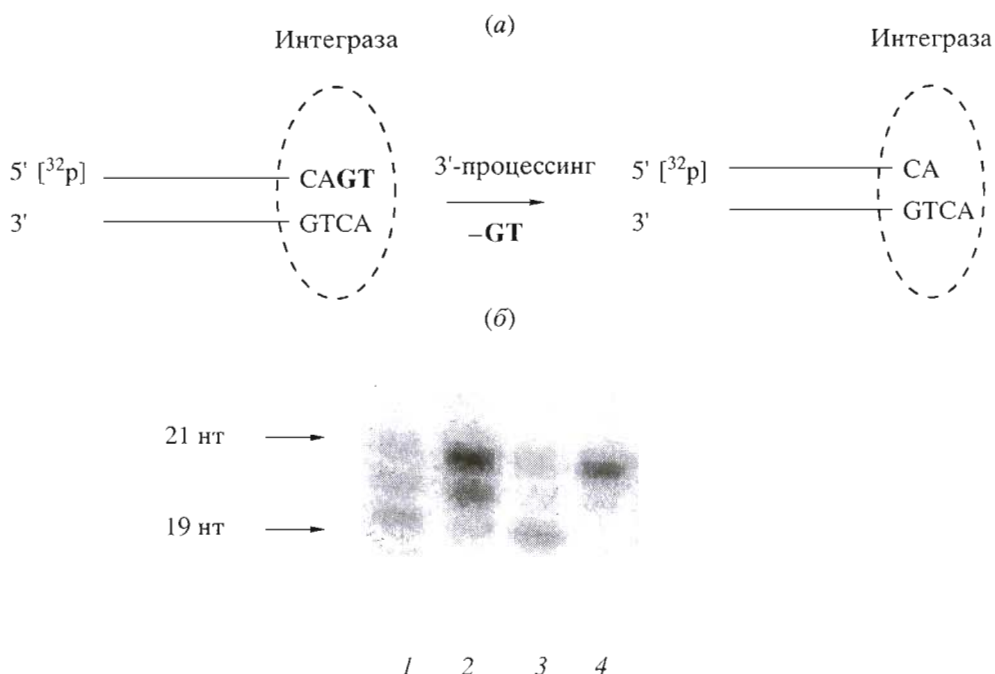
### Фотоаффинная модификация белков

Фотоаффинная модификация белков является удобным инструментом для изучения НК-белковых взаимодействий. Испытания олигонуклеотида (IV) с ATFMD-группой в составе ненуклеозидной вставки в качестве реагента для фотоаффинной модификации белков проводили на примере интегразы ВИЧ-1.

Для олигонуклеотида (IV) была выбрана последовательность, аналогичная 5'-концевому участку одной из цепей U5-района длинного концевого повтора кДНК ВИЧ-1. Этот участок кДНК узнается вирусным ферментом интегразой [12]. Интеграза относится к классу транспозаз и осуществляет встраивание вирусной ДНК в ДНК клетки-хозяина, катализируя две последовательные реакции: 3'-процессинг, представляющий собой отщепление динуклеотида GT с 3'-концов каждой цепи вирусной ДНК, и нуклеофильную атаку 3'-гидроксилом процессированной вирусной ДНК межнуклеотидного фосфата человеческой



**Рис. 1.** Радиоавтограф электрофоретического разделения в 20% денатурирующем ПААГ продуктов фотопрекции между цепями в ДНК-дуплексах. (а) Дуплексы, образованные 5'-<sup>32</sup>P-меченным  $(dA)_{15}$  и олигонуклеотидами (I), (II) и (III) после облучения (соответственно 1, 2 и 3); 5'-<sup>32</sup>P-меченный олигонуклеотид  $(dA)_{15}$ , облученный в отсутствие модифицированной цепи (4). (б) Дуплекс, образованный олигонуклеотидом (I) и 5'-<sup>32</sup>P-меченными олигонуклеотидами:  $(dA)_{15}$  без облучения (1); (V) после облучения (2);  $(dA)_{15}$  после облучения (3). (в) Дуплекс (VI + IV) без облучения (1), после облучения (2); <sup>32</sup>P-метка вводилась на 5'-конец олигонуклеотида (IV).



**Рис. 2.** Влияние ATFMD-группы на эффективность 3'-концевого процессинга. (а) Схема 3'-концевого процессинга. (б) Радиоавтограф электрофоретического разделения в 20% ПААГ (7 М мочевина) продуктов 3'-концевого процессинга дуплексов (VI + VII) (1) и (VI + IV) (3); исходные дуплексы (VI + IV) (2) и (VI + VII) (4). Стрелками указано положение исходного  $^{32}\text{P}$ -меченого 21-звенного олигонуклеотида (VI) и 19-звенного продукта его процессинга.

ДНК. Известно, что интеграза узнает участки вирусной ДНК, локализованные в U5- и U3-фрагментах длинных концевых повторов, и связывается с ними [12]. Однако полная информация об участии конкретных аминокислот и нуклеотидов в ДНК-белковом взаимодействии до сих пор не получена.

Ранее методом фотоаффинной модификации с использованием модифицированных аналогов субстрата, содержащих 5-йодуридиновые [13, 14] или арилазидные фотометки [15], было показано, что в фермент-субстратном комплексе существует контакт между Lys159 интегразы и аденоzinом, расположенным в третьем положении от 3'-конца процессируемой цепи вирусной ДНК. Однако данные о возможных контактах интегразы с непроцессируемой цепью субстрата в литературе отсутствуют. Поскольку олигонуклеотид (IV) имеет последовательность, аналогичную последовательности непроцессируемой цепи, мы ввели ATFMD-содержащую группировку в третье от 5'-конца положение этого олигонуклеотида для того, чтобы протестировать возможные контакты интегразы с непроцессируемой цепью вирусной ДНК.

Изучение взаимодействия интегразы ВИЧ-1 с вирусной ДНК представляет собой довольно трудную задачу, поэтому *in vitro* этот процесс обычно моделируют при помощи более простых систем [16, 17]. В качестве субстрата использовался 21-звенный ДНК-дуплекс, содержащий участок узнавания интегразы из U5-фрагмента длинного кон-

цевого повтора вирусной ДНК-дуплекс (VI + VII), а в качестве ATFMD-содержащего аналога субстрата – дуплекс (VI + IV).

Прежде чем проводить фотомодификацию белка, мы убедились в том, что дуплекс (VI + IV) подвергается специальному 3'-процессингу. Как уже упоминалось ранее, в результате процессинга происходит отщепление динуклеотида GT с 3'-концом процессируемой цепи с образованием 19-звенного олигонуклеотида из исходного 21-звенного (рис. 2а). Анализ эффективности процессинга проводили методом электрофореза в денатурирующих условиях (рис. 2б). Появление полосы, соответствующей укороченному на два звена олигонуклеотиду, свидетельствовало об успешном протекании реакции. Эффективность процессинга немодифицированного субстрата (VI + VII) составила 40%, а субстрата (VI + IV), содержащего ATFMD-группу, – 38%. Другими словами, модификация не влияла на специфичность взаимодействия и катализическую активность фермента. Это позволило нам использовать модифицированный дуплекс (VI + IV) для изучения взаимодействия интегразы с субстратом.

Мы провели фотоактивируемое присоединение аналога субстрата, содержащего ATFMD-группу, к интегразе. Для этого модифицированный дуплекс (VI + IV) инкубировали с интегразой в течение 30 мин при 37°C и затем облучали при 351 нм в течение 10 мин во льду. Образование ко-

валентного конъюгата фиксировали с помощью белкового электрофореза в присутствии SDS. Радиоактивная метка вводилась на 5'-конец олигонуклеотида (**IV**). Результат фотоприсоединения представлен на рис. 3.

Необходимо отметить, что используемая нами рекомбинантная интеграза имеет молекулярную массу 32 кДа. Следовательно, радиоактивная полоса на геле, расположенная в области масс между 31 и 45 кДа, соответствует продукту присоединения радиоактивно меченного 21-звенного олигонуклеотида к молекуле интегразы. Выход продукта фотопреакции составил 3.5%. Таким образом, ATFMD-группа в составе ненуклеозидной вставки, введенная в дуплекс, являющаяся субстратом интегразы ВИЧ-1, позволила выявить контакт интегразы с непроцессируемой цепью вирусной ДНК.

## ЭКСПЕРИМЕНТАЛЬНАЯ ЧАСТЬ

В работе использовали 2-цианоэтил-*N,N*-дизопропиламидохлорфосфит, дитиотрейт, Трис-HCl, HEPES, LiClO<sub>4</sub>, MnCl<sub>2</sub>, акриламид (Aldrich, США); [ $\gamma^{32}$ P]ATP для введения радиоактивной метки во фрагменты ДНК (Изотоп, Россия); полинуклеотидкиназу бактериофага T4 (ед.акт./моль) (Promega, США). Рекомбинантная интеграза ВИЧ-1 любезно предоставлена д-ром Жан-Франсуа Мускаде (институт Гюстава Русси, Вильжуиф, Франция). Для контроля за ходом реакции в процессе синтеза соединения (**5**) использовали ТСХ на пластинах Kieselgel 60 F<sub>254</sub> (Merck). Вещества, содержащие ароматические группы, обнаруживали на хроматограммах по УФ-поглощению. Соединения со свободной аминогруппой идентифицировали нингидриновым реагентом (раствор 0.4 г нингидрина в смеси пиридин-изопропанол, 1 : 4). Алифатические соединения идентифицировали прокрашиванием парами йода. ТСХ проводили в следующих системах растворителей: хлороформ-метанол, 90 : 10 (A); хлороформ-метанол, 96 : 4 (B); хлороформ (B).

Колоночную хроматографию осуществляли на силикагеле G60 (Merck, Германия) на колонке 20 × 250 мм со скоростью элюции 2.5 мл/мин.

**Сукцинимидный эфир 4-(3-(трифторметил)-3*H*-диазирин-3-ил)бензойной кислоты (4)** синтезировали по схеме, описанной Нассалем [8]. В качестве исходного реагента использовали *n*-бромтолуол. Суммарный выход соединения (**4**) в расчете на исходное соединение составил 11%,  $R_f$  0.9 (B).

**2-(*N,N*-Дизопропиламиdo)-β-цианоэтилфосфит 1-(4-(3-(трифторметил)-3*H*-диазирин-3-ил)бензамидо)-3-*O*-(4,4'-диметокситритил)-2,3-пропандиола (6)** (схема 2).

**1-(2,2,2-Трифторметил)-2,3-пропандиол (2).** К раствору 1 г (11 ммоль) 1-амино-2,3-пропандиола (**1**) в 10 мл DMF при перемешивании по каплям добавили 4 мл этилового эфира трифтормукусной

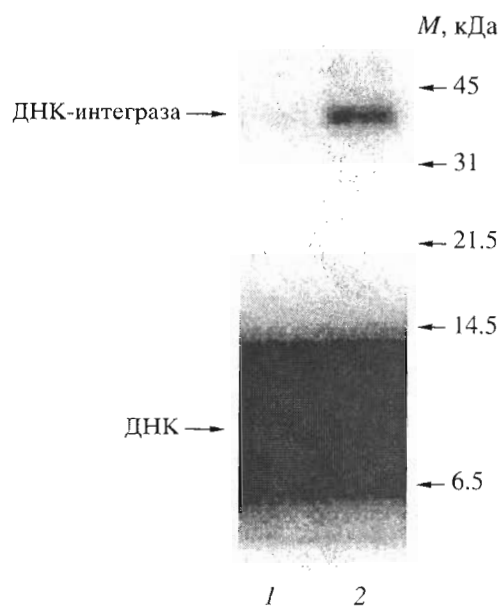


Рис. 3. Радиоавтограф электрофоретического разделения в 15% ПААГ в присутствии SDS продуктов фотопреакции дуплекса (**VI** + **IV**) с интегразой (2); комплекс интегразы – (**VI** + **IV**) без облучения (1);  $M$  – белковые маркеры молекулярных масс.

кислоты и 2 мл триэтиламина. Реакционную смесь перемешивали в течение 24 ч при комнатной температуре, затем упаривали. Остаток растворили в 50 мл смеси хлороформ-метанол (9 : 1) и промыли 50 мл воды. Органический слой упаривали. Продукт ( $R_f$  0.5 (A)) использовали на следующей стадии без очистки.

**1-Амино-3-*O*-(4,4'-диметокситритил)-2,3-пропандиол (3).** Полученное на предыдущей стадии в виде масла соединение (2) переупаривали с абс. пиридином (3 × 20 мл), затем при перемешивании по каплям добавили раствор 3.3 г (9.7 ммоль) диметокситритилхлорида в 5 мл пиридина. Раствор перемешивали в течение 3 ч при комнатной температуре. Реакционную смесь упаривали, к полученному маслянистому остатку добавили 10 мл 1 M NaOH в водном этаноле (1 : 1). Реакционную смесь перемешивали в течение 24 ч, затем упаривали до масла, растворили в 50 мл хлороформа и промыли водой (2 × 50 мл). Органическую фазу сушили безводным сульфатом натрия. Соединение (3) очищали хроматографией на колонке с силикагелем в ступенчатом градиенте метанола (0–7%) в хлороформе. Выход 2.9 г (66% в расчете на соединение (1)).  $R_f$  0.1 (A). <sup>1</sup>H-ЯМР ( $CDCl_3$ ): 2.76 ( $\tau$ , 2H, NH<sub>2</sub>); 2.79 (м, 2H,  $CH_2NH_2$ ); 3.14 (д, 2H,  $CH_2$ ); 3.27 (с, 6H,  $2OCH_3$ ); 3.77 (м, 1H, CHOH); 6.81–7.46 (м, 13H,  $CC_6H_5(CH_3OC_6H_4)_2$ ). Масса:  $m/z$  394 ( $M + 1$ ).

**1-(4-(3-(Трифторметил)-3*H*-диазирин-3-ил)бензамидо)-3-*O*-(4,4'-диметокситритил)-2,3-пропандиол (5).** Раствор 500 мг (1.2 ммоль) амина (3) и 431 мг (1.32 ммоль) сукцинимидного эфира (4) в смеси

4 мл абс. THF и 0.5 мл триэтиламина перемешивали в течение 12 ч при комнатной температуре. Полученную смесь концентрировали до масла, растворили в 50 мл хлороформа и промыли водой ( $2 \times 50$  мл). Органическую фазу сушили безводным сульфатом натрия. Очистку соединения (5) производили хроматографией на колонке с силикагелем в ступенчатом градиенте метанола (0–5%) в хлороформе. Выход 600 мг (80%).  $R_f$  0.5 (A).  $^1\text{H}$ -ЯМР ( $\text{CDCl}_3$ ): 3.25 (д, 2H,  $\text{CH}_2$ ); 3.5 (т, 2H,  $\text{CH}_2\text{NH}$ ); 3.78 (с, 6H,  $\text{OCH}_3$ ); 4.02 (м, 1H,  $\text{CHON}$ ); 6.9–7.6 (м, 17H,  $\text{C}_6\text{H}_5(\text{CH}_3\text{OC}_6\text{H}_4)_2$ ,  $\text{C}_6\text{H}_4\text{CN}_2\text{CF}_3$ ),  $m/z$  578 ( $M + 1 - \text{N}_2$ ).

**2-(*N,N*-Дизопропиламино)- $\beta$ -цианэтилфосфит 1-(4-(3-(трифторметил)-3Н-диазирин-3-ил)бензамино)-3-О-(4,4'-диметокситритил)-2,3-пропандиола (6).** К раствору 100 мг (0.16 ммоль) соединения (5) в 2 мл абс. хлористого метилена по каплям добавили 50 мкл (0.18 мкмоль) 2-цианоэтил-*N,N*-дизопропиламидохлорфосфита, перемешивали в течение 1 ч при комнатной температуре. Полученную смесь концентрировали до масла и растворили в 50 мл хлороформа, затем промыли 50 мл насыщенного раствора соды. Органическую фазу сушили безводным сульфатом натрия. Продукт осаждали гексаном. Выход 95 мг (73%).  $R_f$  0.7 (B).  $^{31}\text{P}$ -ЯМР ( $\text{CDCl}_3$ ): 148.75; 148.02.

**Синтез олигонуклеотидов (I)–(VII)** выполняли на автоматическом ДНК-синтезаторе ASM 102U (Новосибирск, Россия) с применением стандартной амидофосфитной схемы синтеза. На стадии введения соединения (6), содержащего ATFMD-группу, время конденсации увеличено до 10 мин. Выделение олигонуклеотидов осуществляли в денатурирующем 20% ПААГ.

**5'- $^{32}\text{P}$ -Фосфорилирование олигонуклеотидов** проводили с помощью T4-полинуклеотидкиназы в течение 40 мин при 37°C в 10 мкл буфера (50 мМ Трис- $\text{HCl}$ , pH 7.6, 10 мМ  $\text{MgCl}_2$ , 5 мМ дитиотреит), содержащего [ $\gamma$ - $^{32}\text{P}$ ]ATР. При 5'- $^{32}\text{P}$ -фосфорилировании олигонуклеотидов (I)–(III) использовали 10 ед. акт. ферmenta на 50 пмоль олигонуклеотида, в случае олигонуклеотида (VI) – 10 ед. акт. ферmenta на 10 пмоль олигонуклеотида. Реакцию останавливали добавлением 1 мкл 0.25 мМ EDTA, после этого к смеси добавляли эквивалентное количество комплементарного нуклеотида (IV) или (VII) и 0.8 мкл раствора 5 М NaCl. Объем смеси доводили до 40 мкл водой, смесь нагревали до 90°C и медленно охлаждали. Радиоактивно меченные ДНК-дуплексы выделяли центрифугированием на хроматографических колонках Micro Bio-Spin®. Радиоактивность  $^{32}\text{P}$ -меченых препаратов измеряли по Черенкову на счетчике Delta-300 (Tracor, Нидерланды).

**Температурную зависимость УФ-поглощения дуплексов** изучали при 260 нм на спектрофотометре Hitachi 150-20 (Япония), снабженном термостата-

тируемым кюветодержателем, при непрерывном повышении температуры со скоростью 0.5°C/мин от 10 до 80°C. Использовали термостатируемые кварцевые кюветы Rue Unicam (Великобритания) с длиной оптического пути 1 см. Концентрация каждой цепи 5 мкМ. Использовали буфер, содержащий 50 мМ Трис- $\text{HCl}$ , 20 мМ  $\text{MgCl}_2$ , pH 7.0.

**Реакция 3'-концевого процессинга.** К раствору 0.2 пмоль дуплекса (VI + VII) или (VI + IV), содержащего радиоактивно меченный олигонуклеотид (VI), в 10 мкл буфера A (20 мМ НЕPES, 1 мМ дитиотреит, 20 мМ  $\text{MnCl}_2$ ) добавляли раствор 10 пмоль интегразы в 10 мкл того же буфера и термостатировали 1 ч при 37°C. По завершении реакции к смеси добавляли 80 мкл 8 М мочевины, выдерживали 5 мин при 90°C, интегразу экстрагировали 100 мкл смеси хлороформ–изоамиловый спирт (24 : 1). Нуклеотидный материал осаждали из воды ацетоном, содержащим 2%  $\text{LiClO}_4$ , и анализировали электрофоретически в 20% ПААГ, содержащем 7 М мочевину, с последующей радиоавтомографией геля.

**ATFMD-содержащие олигонуклеотиды** облучали с использованием алюмо-иттриевого лазера (Nd : YAG) со средней мощностью 30 мВт/см<sup>2</sup>, при длине волны 351 нм.

**Ковалентное связывание цепей в ДНК-дуплексах, содержащих ATFMD-группу.** Реакционную смесь (20 мкл) с концентрацией дуплекса 10<sup>-3</sup> М в буфере, содержащем 0.02 М Трис- $\text{HCl}$ , 0.02 М  $\text{MgCl}_2$ , pH 7.3, наносили на Parafilm M (Sigma, США) и облучали в течение 5 мин при 4°C. В олигонуклеотид, включающий ATFMD-группу, предварительно вводили 5'-концевую  $^{32}\text{P}$ -метку. Анализировали в 20% денатурирующем ПААГ.

**Ковалентное присоединение интегразы к дуплексу (IV + VI), содержащему ATFMD-группу.** Реакционную смесь, содержащую 0.4 пмоль дуплекса с радиоактивно меченым олигонуклеотидом (IV) и 10 пмоль интегразы в 20 мкл буфера (A), инкубировали в течение 30 мин при 37°C. После инкубации 20 мкл смеси наносили на Parafilm M (Sigma, США) и облучали в течение 5 мин при 4°C. Анализ образования НК-белкового коньюгата проводили с помощью электрофореза в 15% ПААГ в присутствии SDS при напряжении 300 В.

## БЛАГОДАРНОСТИ

Авторы выражают благодарность В.И. Бекетову (МГУ, хим. фак-т) за помощь в проведении фотохимических экспериментов и Ж.-Ф. Мускаде (институт Гюстава Русси, Франция) за предоставленную интегразу ВИЧ-1. Авторы также благодарят Российский фонд фундаментальных исследований за финансовую поддержку (гранты РФФИ № 02-04-48797, 00-04-48312 и РФФИ-НЦНИ № 00-04-22003).

## СПИСОК ЛИТЕРАТУРЫ

1. Meisenheimer K.M., Koch T.H. // Crit. Rev. Biochem. Mol. Biol. 1997. V. 32. P. 101–140.
2. Knorre D.G., Godovikova T.S. // FEBS Lett. 1998. V. 433. P. 9–14.
3. Коршунова Г.А., Сумбатян Н.В., Топин А.Н., Мчедлидзе М.Т. // Молекулярн. биология. 2000. Т. 34. С. 966–983.
4. Bayley H. // Photogenerated Reagents in Biochemistry and Molecular Biology / Eds Work T., Burdon R. Amsterdam, New York, Oxford: Elsevier, 1983. V. 12. P. 187–190.
5. Yamaguchi T., Saneyoshi M. // Nucleosides Nucleotides. 1996. V. 15. P. 607–613.
6. Nelson P.S., Kent M., Muthini S. // Nucl. Acids Res. 1992. V. 20. P. 6253–6259.
7. Nelson P.S., Sherman-Gold R., Leon R. // Nucl. Acids Res. 1989. V. 17. P. 7179–7186.
8. Nassal M. // Liebigs Ann. Chem. 1983. V. 9. P. 1510–1523.
9. Favre A., Saintome C., Fourrey J.-L., Clivio P., Laugaa P. // J. Photochem. Photobiol. 1998. V. 42. P. 109–124.
10. Reynolds M.A., Beck T.A., Hogrefe R.I., McCaffrey A., Arnold L.J., Vaghefi M.M. // Bioconjug. Chem. 1992. V. 3. P. 366–374.
11. Левина А.С., Васильева Т.В., Зарытова В.Ф. // Биоорган. химия. 1999. Т. 25. С. 56–61.
12. Brown P.O. // Current Top. Microbiol. Immunol. 1990. V. 157. P. 19–48.
13. Jenkins T.M., Esposito D., Engelman A., Craigie R. // EMBO J. 1997. V. 16. P. 6849–6859.
14. Esposito D., Craigie R. // EMBO J. 1998. V. 17. P. 5832–5843.
15. Heuer T.B., Brown P.O. // Biochemistry. 1997. V. 36. P. 10655–10664.
16. Craigie R., Mizuchi K., Bushman F.D., Engelman A. // Nucl. Acids Res. 1991. V. 19. P. 2729–2734.
17. Fesen M.R., Kohn K.W., Leteurtre F., Pommier Y. // Proc. Natl. Acad. Sci. USA. 1993. V. 90. P. 2399–2403.

## The Synthesis of Oligonucleotide Derivatives with Aryl(trifluoromethyl)diazirine Moiety for the Photoaffinity Modification of Proteins and Nucleic Acids

Yu. Yu. Agapkina\*#, D. V. Agapkin\*\*, A. V. Zagorodnikov\*\*, Ya. I. Alekseev\*\*\*, G. A. Korshunova\*\*, and M. B. Gottikh\*\*

\*Phone: +7 (095) 939-5407; fax: +7 (095) 939-3181; e-mail: jagapkina@rambler.ru

\*Institute of Chemical Physics Problems, Russian Academy of Sciences,  
Institutskii pr. 14, Chernogolovka, Moscow oblast, 142432 Russia

\*\*Chemical Faculty and Belozerskii Institute of Physicochemical Biology, Moscow State University, Moscow, 119899 Russia

\*\*\*Syntol ZAO, Timiryazevskaya ul. 42, Moscow, 127550 Russia

1-(4-(3-(Trifluoromethyl)-3*H*-diazirin-3-yl)benzamido)-3-*O*-(4,4'-dimethoxytrityl)-2,3-propanediol phosphoramidite was synthesized and used as a modified unit in the automatic synthesis of oligodeoxyribonucleotides. Pentadecathymidylates with various numbers of 2,3-propanediol moieties substituted with aryl(trifluoromethyl)diazirinyl (ATFMD) were obtained, and the thermal stability of their duplexes with (dA)<sub>15</sub> were studied. One ATFMD-propanediol residue was shown to reduce the thermal stability of the duplex by 8–9°C. The irradiation of the ATFMD-containing duplexes by UV light with the wavelength of 350 nm was found to cause the cross-linking reaction of the ATFMD-containing strand with the complementary strand and the formation of the cross-linked duplexes. The photomodification efficiency was independent of the oligonucleotide sequence, with each ATFMD group providing for 5% cross-linking. The irradiation of an ATFMD-containing duplex, a substrate of the HIV-1 integrase, in the presence of this enzyme resulted in the covalent DNA–protein complex. The oligonucleotides with the 1-(4-(3-(trifluoromethyl)-3*H*-diazirin-3-yl)benzamido)-2,3-propanediol moiety in their chains can be used for the photoaffinity modification of both nucleic acids and proteins that recognize them. The English version of the paper: *Russian Journal of Bioorganic Chemistry*, 2002, vol. 28, no. 4; see also <http://www.maik.ru>.

**Key words:** aryl(trifluoromethyl)diazirine, integrase, oligonucleotides, photoaffinity modification